



Großwetterlage

Mai 2006

erstellt durch die Vorhersage- und Beratungszentrale, Offenbach
Ausgabe: 29.02.2016

Zonale Zirkulation

| | Nr. | GW zählt als | Jan. | Feb. | W | März | April | Mai | F | Juni | Juli | Aug. | S | Sept. | Okt. | Nov. | H | Dez. | Jahr | | | | |
|--------------------|-----|--------------------|----------|----------|---|-----------|-----------|----------|----|----------|----------|----------|---|----------|----------|----------|----------|----------|-----------|----|---|---|---|
| Wa | 1 | a | - | - | 6 | - | - | - | 28 | - | - | - | 0 | - | - | - | 0 | - | 0 | | | | |
| Wz | 2 | z | - | - | | 8 | 11 | - | | - | - | - | | - | - | - | | - | | - | - | - | - |
| Ws | 3 | z | - | - | | 9 | - | - | | - | - | - | | - | - | - | | - | | - | - | - | - |
| Ww | 4 | z | - | 6 | | - | - | - | | - | - | - | | - | - | - | | - | | - | - | - | - |
| W (GT) | | | 0 | 6 | | 17 | 11 | 0 | | 0 | 0 | 0 | | 0 | 0 | 0 | 0 | 0 | 34 | | | | |
| zonale Zirkulation | | | 0 | 6 | 6 | 17 | 11 | 0 | 28 | 0 | 0 | 0 | 0 | 0 | 0 | 0 | 0 | 0 | 0 | 34 | | | |

Gemischte Zirkulation

| | Nr. | GW zählt als | Jan. | Feb. | W | März | April | Mai | F | Juni | Juli | Aug. | S | Sept. | Okt. | Nov. | H | Dez. | Jahr | |
|-----------------------|-----|--------------------|-----------|----------|----|----------|----------|----------|----|----------|----------|----------|---|----------|----------|----------|----------|----------|-----------|----|
| SWa | 5 | H+a | - | - | 0 | - | - | - | 6 | - | - | - | 0 | - | - | - | 0 | - | 0 | |
| SWz | 6 | z | - | - | | - | - | 6 | | - | - | - | | - | - | - | | - | | - |
| SW (GT) | | | 0 | 0 | | 0 | 0 | 6 | | 0 | 0 | 0 | | 0 | 0 | 0 | 0 | 0 | 6 | |
| NWa | 7 | a | - | - | 10 | - | - | - | 5 | - | - | - | 0 | - | - | - | 0 | - | 0 | |
| NWz | 8 | z | 5 | 5 | | - | - | 5 | | - | - | - | | - | - | - | | - | | - |
| NW (GT) | | | 5 | 5 | | 0 | 0 | 5 | | 0 | 0 | 0 | | 0 | 0 | 0 | 0 | 0 | 15 | |
| HM | 9 | H+a | 11 | - | 15 | - | - | - | 10 | - | - | - | 0 | - | - | - | 0 | - | 0 | |
| BM | 10 | H+a | - | 4 | | 3 | 4 | 3 | | - | - | - | | - | - | - | | - | | - |
| HM (GT) | | | 11 | 4 | | 3 | 4 | 3 | | 0 | 0 | 0 | | 0 | 0 | 0 | 0 | 0 | 25 | |
| TM (GT) | 11 | T+z | - | - | 0 | - | - | - | 0 | - | - | - | 0 | - | - | - | 0 | - | 0 | |
| gemischte Zirkulation | | | 16 | 9 | 25 | 3 | 4 | 14 | 21 | 0 | 0 | 0 | 0 | 0 | 0 | 0 | 0 | 0 | 0 | 46 |

Meridiane Zirkulation

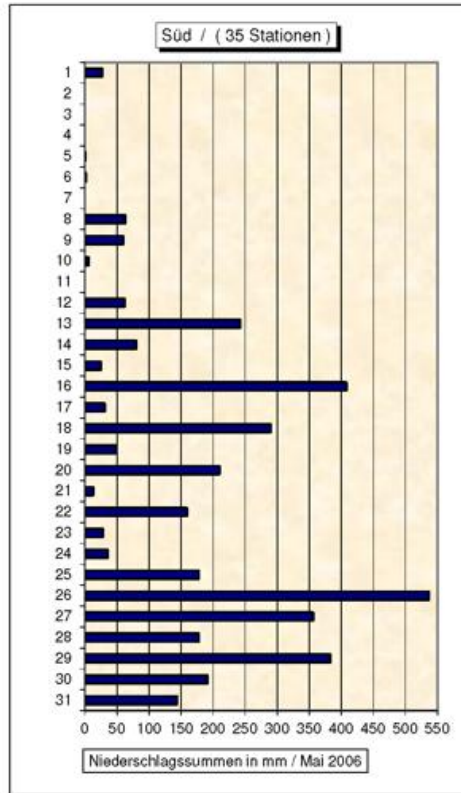
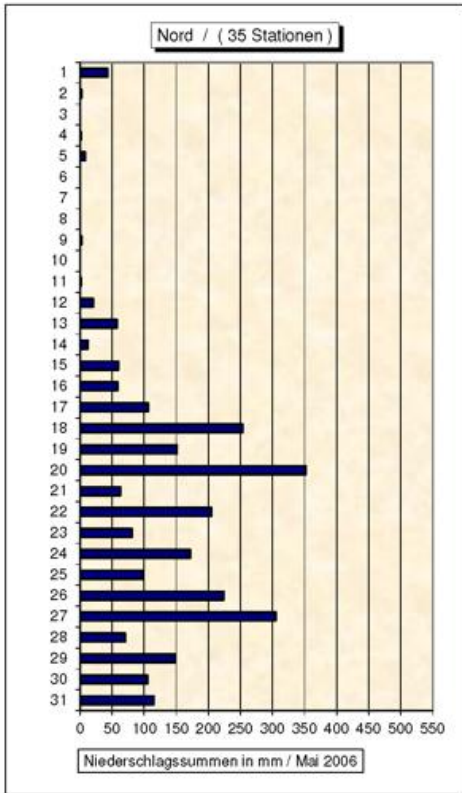
| | Nr. | GW zählt als | Jan. | Feb. | W | März | April | Mai | F | Juni | Juli | Aug. | S | Sept. | Okt. | Nov. | H | Dez. | Jahr | | | | |
|-----------------------|-----|--------------------|-----------|----------|----|----------|----------|----------|----|----------|----------|----------|---|----------|----------|----------|----------|----------|-----------|----------|----------|----------|----------|
| Na | 12 | a | - | - | 17 | - | - | - | 22 | - | - | - | 0 | - | - | - | 0 | - | 0 | | | | |
| Nz | 13 | z | - | - | | - | - | - | | - | - | - | | - | - | - | | - | | - | - | - | - |
| HNa | 14 | a | - | - | | 4 | - | 3 | | - | - | - | | - | - | - | | - | | - | - | - | - |
| HNz | 15 | T+z | - | - | | - | - | - | | - | - | - | | - | - | - | | - | | - | - | - | - |
| HB | 16 | a | 6 | 4 | | - | - | - | | - | - | - | | - | - | - | | - | | - | - | - | - |
| TrM | 17 | T+z | 4 | 3 | | 2 | 9 | 4 | | - | - | - | | - | - | - | | - | | - | - | - | - |
| N (GT) | | | 10 | 7 | | | 6 | 9 | | 7 | | 0 | | 0 | 0 | | | 0 | | 0 | 0 | 0 | 0 |
| NEa | 18 | H+a | - | - | 10 | - | - | - | 18 | - | - | - | 0 | - | - | - | 0 | - | 0 | | | | |
| NEz | 19 | T+z | - | - | | - | - | - | | - | - | - | | - | - | - | | - | | - | - | - | - |
| HFa | 20 | H+a | - | - | | 5 | - | - | | - | - | - | | - | - | - | | - | | - | - | - | - |
| HFz | 21 | T+z | - | - | | - | - | - | | - | - | - | | - | - | - | | - | | - | - | - | - |
| HNFa | 22 | H+a | - | - | | - | - | 3 | | - | - | - | | - | - | - | | - | | - | - | - | - |
| HNFz | 23 | T+z | - | 5 | | - | - | - | | - | - | - | | - | - | - | | - | | - | - | - | - |
| SEa | 24 | H+a | 5 | - | | - | - | 4 | | - | - | - | | - | - | - | | - | | - | - | - | - |
| SEz | 25 | T+z | - | - | | - | 6 | - | | - | - | - | | - | - | - | | - | | - | - | - | - |
| E (GT) | | | 5 | 5 | | 5 | 6 | 7 | | 0 | 0 | 0 | | 0 | 0 | 0 | 0 | 0 | 28 | | | | |
| Sa | 26 | H+a | - | - | 10 | - | - | - | 18 | - | - | - | 0 | - | - | - | 0 | - | 0 | | | | |
| Sz | 27 | z | - | - | | - | - | - | | - | - | - | | - | - | - | | - | | - | - | - | - |
| TB | 28 | z | - | - | | - | - | - | | - | - | - | | - | - | - | | - | | - | - | - | - |
| TrW | 29 | z | - | - | | - | - | 3 | | - | - | - | | - | - | - | | - | | - | - | - | - |
| S (GT) | | | 0 | 0 | | 0 | 0 | 0 | | 3 | 3 | 0 | | 0 | 0 | 0 | | 0 | | 0 | 0 | 0 | 0 |
| meridiane Zirkulation | | | 15 | 12 | 27 | 11 | 15 | 17 | 43 | 0 | 0 | 0 | 0 | 0 | 0 | 0 | 0 | 0 | 0 | 70 | | | |

Summe

| | Nr. | GW zählt als | Jan. | Feb. | W | März | April | Mai | F | Juni | Juli | Aug. | S | Sept. | Okt. | Nov. | H | Dez. | Jahr |
|----------------------------|-----|--------------------|------|------|----|------|-------|-----|----|------|------|------|---|-------|------|------|---|------|------|
| Übergangs - lage (Tage) | | | - | 1 | 1 | - | - | - | 0 | - | - | - | 0 | - | - | - | 0 | - | 1 |
| Σ a | | | 22 | 8 | 30 | 12 | 4 | 13 | 29 | 0 | 0 | 0 | 0 | 0 | 0 | 0 | 0 | 0 | 59 |
| Σ z | | | 9 | 19 | 28 | 19 | 26 | 18 | 63 | 0 | 0 | 0 | 0 | 0 | 0 | 0 | 0 | 0 | 91 |
| Σ H | | | 16 | 4 | 20 | 8 | 4 | 10 | 22 | 0 | 0 | 0 | 0 | 0 | 0 | 0 | 0 | 0 | 42 |
| Σ T | | | 4 | 8 | 12 | 2 | 15 | 4 | 21 | 0 | 0 | 0 | 0 | 0 | 0 | 0 | 0 | 0 | 33 |

| GWL 2006 | GWL nach Hess & Brezowsky | Kurzbeschreibung |
|-------------------------|---------------------------|--|
| Montag, den 01. Mai | TRM | Das Cut-off-Gebilde wird von einem vom Atlantik nachrückenden Trog wieder eingefangen und in die globale Strömung integriert. Gleichzeitig beginnt über Mitteleuropa das Potential kräftig zu steigen. |
| Dienstag, den 02. Mai | TRM | |
| Mittwoch, den 03. Mai | SEA | Kräftiger Potentialanstieg lässt den mitteleuropäischen Höhentrog unter Auflösung rasch ostwärts schwenken. Auch am Boden steigt der Druck deutlich an und Mitteleuropa gerät auf die Südwestflanke einer umfangreichen Hochdruckzelle über dem Norden und Nordosten Europas. Es stellt sich ein antizyklonaler Witterungsabschnitt ein. Die einströmende Festlandsluft bringt frühlommerliche Werte. |
| Donnerstag, den 04. Mai | SEA | |
| Freitag, den 05. Mai | SEA | |
| Samstag, den 06. Mai | SEA | |
| Sonntag, den 07. Mai | HNFA | Das Hoch über dem Nordosten Europas weitet sich westwärts zum Nordmeer aus und es entsteht eine Lage Hoch Nordmeer-Fennoskandien. Die bodennahe Strömung dreht zunehmend auf eine östliche Richtung. In Mitteleuropa überwiegt leicht der antizyklonale Einfluss. |
| Montag, den 08. Mai | HNFA | |
| Dienstag, den 09. Mai | HNFA | |
| Mittwoch, den 10. Mai | HNA | Der hohe Luftdruck über Skandinavien wird gebietsweise abgebaut und das Hoch verlagert seinen Schwerpunkt zum Nordmeer. Ein Keil weist dabei nach Mitteleuropa, sodass dort der antizyklonale Einfluss leicht überwiegt. |
| Donnerstag, den 11. Mai | HNA | |
| Freitag, den 12. Mai | HNA | |
| Samstag, den 13. Mai | BM | Ein von Norden heranschwenkender Höhentrog baut das Hoch über dem Nordmeer ab. Über Mitteleuropa bleibt aber in Form einer schwachen Hochdruckbrücke leichter antizyklonaler Einfluss wetterbestimmend. |
| Sonntag, den 14. Mai | BM | |
| Montag, den 15. Mai | BM | |
| Dienstag, den 16. Mai | SWZ | Vom Atlantik her greift die Frontalzone zunehmend auf Mitteleuropa über. Es schwenken dabei immer wieder Kurzwellentröge durch, im Mittel überwiegt eine südwestliche Komponente in der Strömung. Es dominiert zyklonaler Einfluss und wiederholt kommt es zu Niederschlägen. Die Temperaturmaxima liegen anfangs noch zwischen 12 und 25 °C, ab dem 19. ist es mit 12 bis 22°C etwas kühler. Die Temperaturminima bewegen sich zwischen 16 und 7°C. |
| Mittwoch, den 17. Mai | SWZ | |
| Donnerstag, den 18. Mai | SWZ | |
| Freitag, den 19. Mai | SWZ | |
| Samstag, den 20. Mai | SWZ | |
| Sonntag, den 21. Mai | SWZ | |
| Montag, den 22. Mai | TRW | Vom Atlantik her schwenkt ein Höhentrog ostwärts nach Westeuropa. Mitteleuropa liegt auf der Vorderseite dieses Troges. Dabei wird anfangs noch sehr warme, nach Durchgang einer Kaltfront recht kühle Luft herangeführt. |
| Dienstag, den 23. Mai | TRW | |
| Mittwoch, den 24. Mai | TRW | |
| Donnerstag, den 25. Mai | NWZ | Der westeuropäische Höhentrog verkürzt seine Wellenlänge, schwenkt ostwärts durch und auf seiner Rückseite dreht die Strömung auf Nordwest. Der Abschnitt wird überwiegend zyklonal geprägt, wobei es wiederholt zu ergiebigen Niederschlägen kommt. |
| Freitag, den 26. Mai | NWZ | |
| Samstag, den 27. Mai | NWZ | |
| Sonntag, den 28. Mai | NWZ | |
| Montag, den 29. Mai | NWZ | Der osteuropäische Trog wandert durch Anbau kurzweilliger Tröge an seinem Westrand retrograd nach Mitteleuropa. Unter Mitführen arktischer Kaltluft tropfen Tröge vom Polarmeer in Richtung Mittelmeer ab. |
| Dienstag, den 30. Mai | TRM | |
| Mittwoch, den 31. Mai | TRM | |

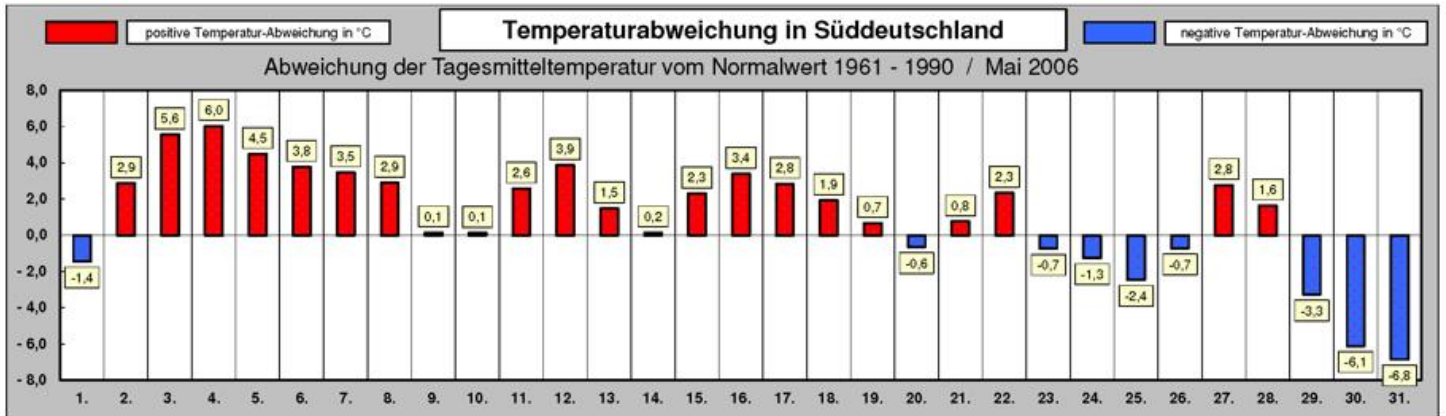
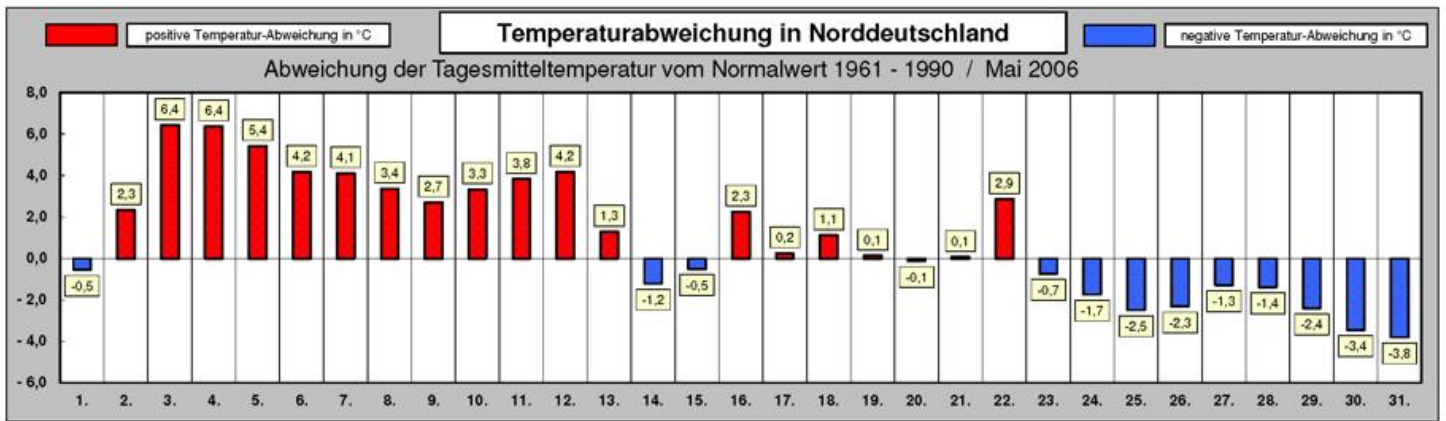
| Legende zur Großwetterlagen-Tabelle | | | |
|-------------------------------------|-------------|--|----------------|
| Nummer | Abkürzung | Großwetterlage | Farbe |
| 1 | Wa | Westlage, Mitteleuropa überwiegend antizyklonal | Hellgrün |
| 2 | Wz | Westlage, Mitteleuropa überwiegend zyklonal | Grelles Grün |
| 3 | WS | Südliche Westlage | Meeresgrün |
| 4 | WW | Winkelförmige Westlage | Grün |
| 5 | SWa | Südwestlage, Mitteleuropa überwiegend antizyklonal | Hellorange |
| 6 | SWz | Südwestlage, Mitteleuropa überwiegend zyklonal | Orange |
| 7 | NWa | Nordwestlage, Mitteleuropa überwiegend antizyklonal | Türkis |
| 8 | NWz | Nordwestlage, Mitteleuropa überwiegend zyklonal | Blaugrün |
| 9 | HM | Hoch Mitteleuropa | Weiß |
| 10 | BM | Hochdruckbrücke Mitteleuropa | Hellgrau 25% |
| 11 | TM | Tief Mitteleuropa | Grau 50% |
| 12 | Na | Nordlage, Mitteleuropa überwiegend antizyklonal | Blassblau |
| 13 | Nz | Nordlage, Mitteleuropa überwiegend zyklonal | Blau |
| 14 | HNa | Hoch Nordmeer-Inland, Mitteleuropa überwiegend antizyklonal | Himmelblau |
| 15 | HNz | Hoch Nordmeer-Inland, Mitteleuropa überwiegend zyklonal | Blaugrau |
| 16 | HB | Hoch Britische Inseln | Helltürkis |
| 17 | TrM | Trog Mitteleuropa | Dunkelgrau 80% |
| 18 | NEa | Nordostlage, Mitteleuropa überwiegend antizyklonal | Lavendel |
| 19 | NEz | Nordostlage, Mitteleuropa überwiegend zyklonal | Pflaume |
| 20 | HFa | Hoch Fennoskandien, Mitteleuropa überwiegend antizyklonal | Hellrosa |
| 21 | HFz | Hoch Fennoskandien, Mitteleuropa überwiegend zyklonal | Rosa |
| 22 | HNFa | Hoch Nordmeer-Fennoskandien, Mitteleuropa überwiegend antizyklonal | Hellgelb |
| 23 | HNFz | Hoch Nordmeer-Fennoskandien, Mitteleuropa überwiegend zyklonal | Dunkelgelb |
| 24 | SEa | Südostlage, Mitteleuropa überwiegend antizyklonal | Gelb |
| 25 | SEz | Südostlage, Mitteleuropa überwiegend zyklonal | Gold |
| 26 | Sa | Südlage, Mitteleuropa überwiegend antizyklonal | Gelbbraun |
| 27 | Sz | Südlage, Mitteleuropa überwiegend zyklonal | Rot |
| 28 | TB | Tief Britische Inseln | Braun |
| 29 | TrW | Trog Westeuropa | Dunkelrot |
| 30 | Ü | Übergangslage / Unbestimmt | Grau 40% |



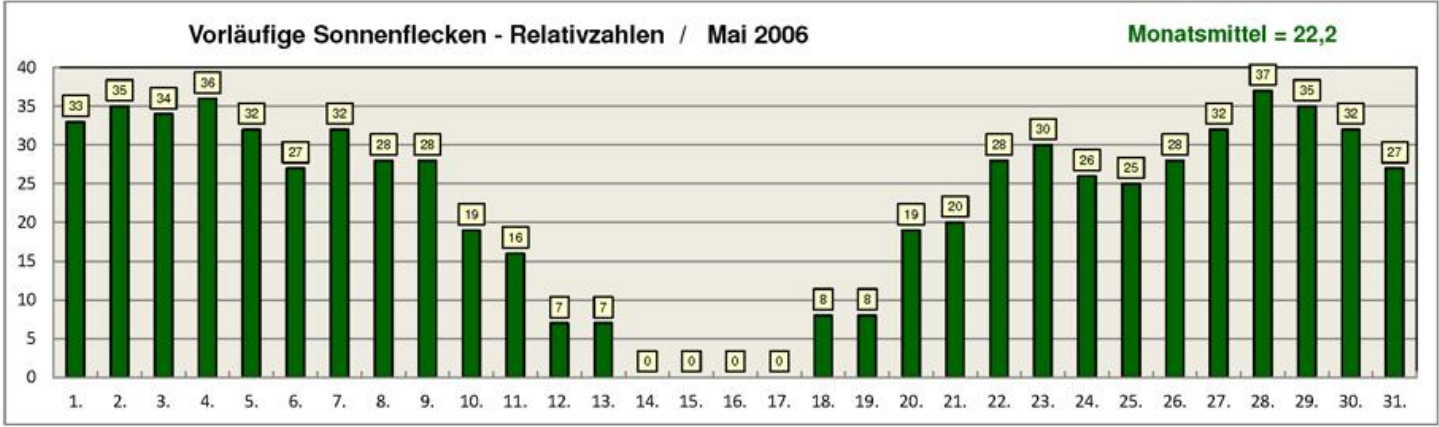
| Tag | Nord | Süd |
|-----|------|-----|
| 1. | 25 | 17 |
| 2. | 4 | 0 |
| 3. | 0 | 0 |
| 4. | 1 | 0 |
| 5. | 1 | 1 |
| 6. | 0 | 3 |
| 7. | 0 | 0 |
| 8. | 0 | 9 |
| 9. | 4 | 24 |
| 10. | 0 | 1 |
| 11. | 3 | 0 |
| 12. | 11 | 26 |
| 13. | 28 | 35 |
| 14. | 4 | 24 |
| 15. | 23 | 17 |
| 16. | 18 | 34 |
| 17. | 25 | 14 |
| 18. | 35 | 35 |
| 19. | 35 | 25 |
| 20. | 35 | 35 |
| 21. | 28 | 15 |
| 22. | 35 | 34 |
| 23. | 31 | 15 |
| 24. | 29 | 10 |
| 25. | 32 | 34 |
| 26. | 35 | 34 |
| 27. | 35 | 31 |
| 28. | 27 | 19 |
| 29. | 33 | 35 |
| 30. | 32 | 34 |
| 31. | 30 | 32 |

Anzahl der Stationen mit Niederschlag

Temperaturabweichung in Deutschland



Witterungsverlauf : Sonnenflecken und Zyklonalindex



| Stationen | Temperatur | Abweichung | Niederschlag | Abweichung | Sonnenschein | Abweichung | Luftdruck | Abweichung | |
|-----------|------------------|------------|--------------|------------|--------------|---------------|-----------|------------|-----------|
| 10035 | Schleswig | 11,8 °C | + 0,8 °C | 73,8 mm | 120,2 % | 223,5 Stunden | 99,0 % | 1013,8 hPA | - 1,5 hPA |
| 10113 | Norderney | 12,9 °C | + 1,7 °C | 57,1 mm | 117,2 % | 246,4 Stunden | 108,9 % | 1013,5 hPA | - 1,4 hPA |
| 10147 | Hamburg | 13,3 °C | + 1,1 °C | 69,1 mm | 120,6 % | 222,5 Stunden | 102,6 % | 1014,0 hPA | - 1,2 hPA |
| 10170 | Rostock | 12,3 °C | + 1,0 °C | 80,2 mm | 172,5 % | 274,6 Stunden | 111,9 % | 1013,9 hPA | - 1,4 hPA |
| 10338 | Hannover | 13,6 °C | + 1,0 °C | 68,0 mm | 109,0 % | 226,0 Stunden | 109,5 % | 1014,5 hPA | - 0,8 hPA |
| 10379 | Potsdam | 14,0 °C | + 0,8 °C | 53,1 mm | 87,5 % | 234,9 Stunden | 103,5 % | 1014,9 hPA | - 0,7 hPA |
| 10410 | Essen | 14,1 °C | + 1,2 °C | 135,0 mm | 183,9 % | 181,6 Stunden | 94,3 % | 1014,6 hPA | - 0,4 hPA |
| 10438 | Kassel | 13,3 °C | + 0,7 °C | 101,0 mm | 150,7 % | 162,4 Stunden | 83,7 % | 1015,0 hPA | + 0,1 hPA |
| 10453 | Brocken | 6,6 °C | + 0,9 °C | 169,8 mm | 144,5 % | 179,7 Stunden | 104,2 % | 1012,5 hPA | - 2,7 hPA |
| 10469 | Leipzig | 13,7 °C | + 0,4 °C | 48,9 mm | 92,6 % | 231,6 Stunden | 116,7 % | 1015,9 hPA | + 0,7 hPA |
| 10496 | Cottbus | 14,3 °C | + 0,8 °C | 25,8 mm | 44,7 % | 245,5 Stunden | 109,4 % | 1015,0 hPA | + 0,0 hPA |
| 10567 | Gera | 13,0 °C | + 1,2 °C | 66,8 mm | 122,6 % | 233,2 Stunden | 116,4 % | 1015,3 hPA | - 0,1 hPA |
| 10609 | Trier | 14,0 °C | + 1,4 °C | 87,1 mm | 128,3 % | 179,9 Stunden | 88,4 % | 1015,8 hPA | + 1,2 hPA |
| 10637 | Frankfurt (Main) | 15,0 °C | + 1,3 °C | 100,8 mm | 164,4 % | 185,6 Stunden | 89,9 % | 1015,6 hPA | + 1,0 hPA |
| 10739 | Stuttgart | 14,7 °C | + 1,4 °C | 79,1 mm | 94,6 % | 197,6 Stunden | 99,9 % | 1016,2 hPA | + 1,3 hPA |
| 10763 | Nürnberg | 13,9 °C | + 0,7 °C | 81,1 mm | 126,1 % | 213,2 Stunden | 99,7 % | 1015,8 hPA | + 1,1 hPA |
| 10803 | Freiburg | 15,8 °C | + 1,4 °C | 168,2 mm | 159,3 % | 171,9 Stunden | 86,9 % | 1017,5 hPA | + 3,2 hPA |
| 10870 | München | 13,5 °C | + 1,3 °C | 74,8 mm | 85,3 % | 220,8 Stunden | 108,7 % | 1016,3 hPA | + 1,5 hPA |
| 10895 | Passau | 12,9 °C | + 0,9 °C | 131,5 mm | 159,0 % | 204,6 Stunden | 99,4 % | 1016,4 hPA | + 2,0 hPA |
| 10961 | Zugspitze | -2,8 °C | + 0,3 °C | 202,7 mm | 117,9 % | 151,3 Stunden | 91,8 % | 1017,2 hPA | + 2,4 hPA |

* Bei allen Abweichungswerten wird der aktuelle Monatsmittelwert dem 30-jährigen Mittelwert (climat-Wert) aus dem Zeitraum 1961 bis 1990 gegenüber gestellt !

| Stationen | Temperatur | Abweichung | Niederschlag | Abweichung | Sonnenschein | Abweichung | Luftdruck | Abweichung | |
|-----------|------------------|------------|--------------|------------|--------------|---------------|-----------|------------|-----------|
| 01026 | Tromsö | 7,0 °C | + 2,1 °C | 27,0 mm | 56,3 % | 256,0 Stunden | 117,4 % | 1013,7 hPA | - 1,6 hPA |
| 02935 | Jyväskylä | 9,3 °C | + 0,6 °C | 34,0 mm | 85,0 % | 270,0 Stunden | 108,0 % | 1013,0 hPA | - 2,1 hPA |
| 03005 | Lerwick | 7,8 °C | + 0,2 °C | 54,0 mm | 87,1 % | 253,0 Stunden | 172,1 % | 1011,3 hPA | - 2,5 hPA |
| 03091 | Aberdeen | 9,1 °C | + 0,1 °C | 38,0 mm | 64,4 % | 153,0 Stunden | 86,9 % | 1011,1 hPA | - 2,8 hPA |
| 03772 | London | 13,9 °C | + 1,4 °C | 92,0 mm | 180,4 % | 128,0 Stunden | 66,0 % | 1013,4 hPA | - 1,8 hPA |
| 04030 | Reykjavik | 6,4 °C | + 0,1 °C | 33,0 mm | 75,3 % | 272,0 Stunden | 141,7 % | 1013,6 hPA | + 1,2 hPA |
| 06260 | De Bilt | 14,5 °C | + 2,2 °C | 90,0 mm | 147,1 % | 196,0 Stunden | 99,5 % | 1013,6 hPA | - 1,2 hPA |
| 06447 | Brüssel | 14,2 °C | + 1,3 °C | 116,0 mm | 163,4 % | 136,0 Stunden | 71,8 % | 1015,0 hPA | + 0,2 hPA |
| 06590 | Luxemburg | 13,4 °C | + 1,6 °C | 143,0 mm | 176,5 % | 173,0 Stunden | 83,8 % | 1015,5 hPA | + 0,7 hPA |
| 06700 | Genf | 14,5 °C | + 1,5 °C | 110,0 mm | 142,9 % | 192,0 Stunden | 106,1 % | 1018,1 hPA | + 3,2 hPA |
| 06770 | Lugano | 16,7 °C | + 2,2 °C | 91,0 mm | 46,9 % | 183,0 Stunden | 101,1 % | 1016,9 hPA | + 2,4 hPA |
| 07149 | Paris | 14,7 °C | + 1,2 °C | 60,0 mm | 103,4 % | 132,0 Stunden | 65,7 % | 1016,3 hPA | + 1,5 hPA |
| 07222 | Nantes | 13,9 °C | + 0,3 °C | 92,0 mm | 143,8 % | 147,0 Stunden | 69,7 % | 1017,6 hPA | + 2,6 hPA |
| 07690 | Nizza | 17,8 °C | + 1,4 °C | 23,0 mm | 46,9 % | 293,0 Stunden | 108,5 % | 1016,2 hPA | + 1,8 hPA |
| 08221 | Madrid | 19,7 °C | + 4,2 °C | 7,0 mm | 17,9 % | 260,0 Stunden | 96,3 % | 1014,9 hPA | - 0,7 hPA |
| 08509 | Azoren (Lajes) | 17,1 °C | + 1,0 °C | 45,0 mm | 104,7 % | 181,0 Stunden | 91,9 % | 1019,4 hPA | - 3,9 hPA |
| 08535 | Lissabon | 19,6 °C | + 2,2 °C | 0,5 mm | 1,3 % | 341,0 Stunden | 117,2 % | 1017,0 hPA | - 0,4 hPA |
| 11035 | Wien | 14,9 °C | + 0,3 °C | 76,0 mm | 124,6 % | 233,0 Stunden | 101,3 % | 1016,3 hPA | + 1,8 hPA |
| 11150 | Salzburg | 13,7 °C | + 0,5 °C | 116,0 mm | 92,8 % | 184,0 Stunden | 95,3 % | 1017,0 hPA | + 1,7 hPA |
| 11518 | Prag | 13,4 °C | + 0,7 °C | 108,0 mm | 140,3 % | 225,0 Stunden | 97,8 % | 1016,2 hPA | + 1,3 hPA |
| 12205 | Stettin | 13,4 °C | + 0,6 °C | 58,0 mm | 113,7 % | 231,0 Stunden | 105,5 % | 1014,6 hPA | - 0,5 hPA |
| 12375 | Warschau | 14,2 °C | + 0,8 °C | 38,0 mm | 64,4 % | 326,0 Stunden | 110,9 % | 1015,2 hPA | - 0,3 hPA |
| 12843 | Budapest | 15,9 °C | - 0,1 °C | 91,0 mm | 165,5 % | 234,0 Stunden | 101,3 % | 1016,6 hPA | + 2,7 hPA |
| 13274 | Belgrad | 17,2 °C | + 0,0 °C | 41,0 mm | 57,7 % | 258,0 Stunden | 114,2 % | 1017,0 hPA | + 2,6 hPA |
| 15420 | Bukarest | 16,0 °C | - 0,7 °C | 32,0 mm | 45,7 % | 265,0 Stunden | 107,6 % | 1014,2 hPA | + 0,1 hPA |
| 15614 | Sofia | 15,3 °C | + 1,0 °C | 18,0 mm | 24,7 % | 264,0 Stunden | 130,7 % | 1015,7 hPA | + 0,8 hPA |
| 16597 | Malta (Luqa) | 20,8 °C | + 1,7 °C | 2,0 mm | 28,6 % | 329,0 Stunden | 109,7 % | 1017,3 hPA | + 2,0 hPA |
| 16714 | Athen | 21,8 °C | + 1,7 °C | 0,0 mm | 0,0 % | 345,0 Stunden | 119,0 % | 1016,4 hPA | + 3,0 hPA |
| 17116 | Bursa | 18,9 °C | + 1,6 °C | 9,0 mm | 19,6 % | 279,0 Stunden | 109,4 % | 1015,7 hPA | + 1,5 hPA |
| 22550 | Archangelsk | 8,4 °C | + 1,9 °C | 62,0 mm | 155,0 % | 316,0 Stunden | 120,2 % | 1015,0 hPA | - 0,9 hPA |
| 27595 | Kasan | 13,6 °C | + 0,3 °C | 57,0 mm | 154,1 % | 275,0 Stunden | 97,5 % | 1015,9 hPA | + 0,1 hPA |
| 34300 | Charkow | 15,4 °C | - 0,2 °C | 46,0 mm | 97,9 % | 259,0 Stunden | 108,8 % | 1016,1 hPA | + 1,2 hPA |